Sachverzeichnis 1986

Abkühlzeiten nach Arbeiten unter Hitzeeinwirkung 66:1146

Ablagerungen durch Ammoniakschlupf hinter Anlagen zur NOx-Minderung 66:861-866

Abscheidevorrichtungen in Trommeln 66:1036-1041

Absperreinrichtungen für Rauchgase 66:1130

Abwasser
- Anforderungen durch das Abwasserabgabengesetz 66:1057
- aus Kraftwerken 66:1052
- aus Rauchgasentschwefelung 66:374 66:759-762 66:866-871

Abwasserabgabengesetz, Anforderungen an das Abwasser 66:1057

Abwasserreinigung
- bei Kraftwerken 66: 1052
- im Kraftwerk Neurath 66:1054

Änderungen in der Brennstoffwirtschaft 66:198

Aktivitätsaufbau durch Co-60 in SWR-Anlagen 66:268-273

Aktivkoksverfahren 66:777

Alkalisierung
- des Primärkreislaufes von DWR mit KOH 66:54-58
- von Kesselwasser, pH-Wert-geregelt 66:157-159

Ammoniak, Abtrennung aus Kraftwerksaschen 66:861-866

Ammoniakfreisetzung 66:861

Ammoniakkorrosion 66:861

Ammoniakschlupf
- (NH3) 66:852 66:861
- bei Anlagen zur NOx-Minderung 66:754-759 66:861-866
- Verteilung 66:861

Ammoniumhydrogensulfatbildung 66:861

Ammoniumsulfatbildung 66:861

Analyse
- chemische, rechnergestützte Erfassung und Auswertung 66:153-157
- chemische Überwachung von Rauchgasreinigungsanlagen 66:759-762
- von Störfällen 66:1116

Analysenschema für die Bestimmung von Spurenstoffen bei der Kohleverbrennung 66:752

Analysenverfahren für Dioxine 66:142

Anfahren eines 1000-t/h-Benson-Kessels mit Öl- und Staubzündfeuer 66:563

Anheben der Speisewasserendvorwärmung für SCR High-dust 66:630

Anlagenbeurteilung 66:194

Anlagenkosten 66:89

Anodische Metallauflösung, Rißbildung 66:399-409

Armaturen in Rauchgasentschwefelungsanlagen 66:823-835

Ausbrand der Kohle in der Zirkulierenden Wirbelschichtfeuerung 66:803

Ausmahlung von Kohle für unterschiedliche Horizontal-Zyklonfeuerungen 66:236

Ausnutzung, Zeit- und Arbeitsausnutzung von Kernkraftwerken 1985 66:327

Austenit-Ferrit-Verbinder, Metallographische Untersuchung 66:292-296

Automatisierungssysteme für REA 66:246

AVT-Fahrweise, Korrosionsverhalten von DE-Rohren 66:977-982

Axialgebläse 66:369

Berechnung
- Druck und Temperaturverlauf in Bauteilen von Dampferzeugern 66:1178-1190
- von Rohrbündelwärmetauschern 66:1 080-1088
- Wärmespannungen in Rohrböden 66:1190-1194
- Wärmetauscher für eine Gastemperatur von 950 °C 66:285-291

Beschichtungen in Rauchgasentschwefelungsanlagen 66:771

Betrieb von Gasturbinen 66:722

Betriebserfahrungen
- Gasturbinen 66: 1041
- Rauchgasentschwefelung 66:371

Betriebsergebnisse der Kernkraftwerke 1985 66:326-366

Bilddarstellungs- und Bedienkonzept 66:33

Bildschirmanwendung in Kraftwerkswarten 66:32

Bildschirm-Bedien- und Beobachtungssystem 66:814

Bildschirmdarstellung 66:38
- mit variabler Informationsdichte 66:36

Brandereignisse in deutschen Kernkraftwerken 66:954

Brandschutz in Kernkraftwerken 66:604 66:949
- Anwendungsbeispiele, USA 66:607
- Forschung/Entwicklung 66:609
- Genehmigungsverfahren 66:609

Brandschutzmaßnahmen in Kernkraftwerken
- anlagentechnische Maßnahmen 66:953
- bauliche Maßnahmen 66:951
- betriebliche Maßnahmen 66:953

Braunkohle, bosnische, Brennstoffdaten 66:463

Braunkohle, Fohnsdorfer, Brennstoffdaten 66:463

Braunkohlenstaub (TBK 10), technische Daten 66:560

Braunkohlenstaubfeuerungen, Maßnahmen zur NOx-Minderung 66:956-959

Brennelemente, Überwachung des Ent- und Beladens 66:523

Brennstoffstufung bei der Kohlenstaubfeuerung 66:538-550 66:639

Brennstoffumwandlungsverfahren 66:2

Brennstoffwirtschaft, Änderungen 66:198

Brüterentwicklung 66:716

BÜS, Brennelement Be- und Entlade-Überwachungs-System 66:523

Bunkerauslaufverhalten 66:133-140

Chemie im Kraftwerk
- Entwicklung in 60 Jahren seit Gründung des VGB-Speisewasserausschusses 66:148-153
- Zusammenwirken von Wissenschaft und Praxis innerhalb der VGB 66:105-107

Dampfbeheizter Vorwärmer für SCR nach REA 66:27

Dampferzeuger
- Abscheidegrad 66:1036-1041
- Abscheidevorrichtung 66:1036-1041
- Berechnung 66:1178-1190
- Dampfreinheit 66:1036-1041
- für H2/O2 66:796
- Einfluß der Sekundärwasserchemie auf das Korrosionsverhalten von DE-Rohren 66:977-982
- Rechenmodell für
  - Feuerraumaustrittstemperaturen 66:515-522
  - Feuerraumauslegung 66:515-522
  - Vergleich Rechen-/Meßdaten 66:515-522
  - Wärmestromdichteverteilung 66:515-522
- Salzgehalt im Sattdampf 66:1036-1041
- Versuche zur Sekundärwasserchemie in DWR 66:969-976
- Zyklonabscheider 66:1036-1041

Dampfkraftwerksblöcke, Laständerungen 66:433

Dampfturbinen
- Erosionsschäden 66:127
- Laständerungen 66:433

Dampfturbosatz, Schallmessungen am 66:610

Dauerstandfestigkeit von Röhrenstählen 66:667

DDA-Mitteilungen 66:498-501

Dehnungsinduzierte Rißkorrosion 66:481-485

Deionat, Gewinnung aus Kühlwasser mittels Membranverfahren und Ionenaustausch 66:573-579

Dekontamination in Kernkraftwerken, Stand der Technik und Entwicklungsziele 66:579-588

DENOX
- Betriebserfahrungen 66:852
- Demonstrations- und Großanlagenliste 66:777
- Einfluß auf Kraftwerksnebenprodukte 66:654
- Einsatzbedingungen 66:852
- GAVO, LUV0 66:1123
- Versuchsanlagen 66:852

Deponie von Kraftwerksnebenprodukten .66:653

DIABON, kunstharzimprägnierter Elektrographit 66:945-949

Dioxine und Furane in MVA 66:141

Dissertationen, Kraftwerkstechnik 66:782

Doppelabsperrklappen für Rauchgase 66:1130

Dosisleistung
- Minimierung durch technische und organisatorische Maßnahmen 66:257-268
- in SWR-Anlagen, Beitrag der Korrosionsprodukte 66:659-663

Dosisleistungsaufbau in Leichtwasserreaktoren 66:46-48

Drallbrenner, Einflußgrößen auf die NOx-Bildung 66:848

Druckwasserreaktoren 66:1108
- Alkalisierung des Primärkreislaufes mit KOH 66:54-58
- Einfluß der Sekundärwasserchemie auf das Korrosionsverhalten 66:977-982
- Erfahrungen der EdF mit der Sekundärwasserchemie 66:1072-1076
- Primärkreischemie im Kernkraftwerk Biblis 66:257-268
- Primärkühlmittelzusammensetzung nahe der Betriebstemperatur 66:486-491
- Untersuchungen zur Sekundärwasserchemie 66:969-976 66:1059-1071

Druckwirbelschichtfeuerung 66:3

Durchmischungsflügel bei Abgaseinleitung in Naturzug-Naßkühltürme 66:928

EdF, künftige Entwicklung des Kraftwerksbauprogramms 66:204

Eignungsgeprüfte Auswertesysteme für Emissionsüberwachung bei MVA 66:962

Eignungsgeprüfte Emissionsmeßsysteme für MVA 66:961

EKasic (Siliciumcarbid), Werkstoff für Armaturen 66:831

EKasin (Siliciumnitrid), Werkstoff für Armaturen 66:827-830

Elastomere in Rauchgasentschwefelungsanlagen 66:769-771

Electric Power Research Institute (EPRI) 66:477

Elektrizitätserzeugung in Frankreich 66:1011

Elektrodialyse, Anwendung zur Wasserentsalzung 66:395-399

Elektronenstrahlverfahren 66:777

Emissionen
- Frankreich 66:1011
- Spurenstoffe bei der Verbrennung von Kohle 66:750-753
- Zirkulierende Wirbelschichtfeuerung 66:803

Emissionsüberwachung bei MVA 66:960

Energieforschung 66:97 66:204 66:782

Energiemanagement und Energiespeicherung bei Stromversorgungsunternehmen 66:108

Energiepolitische Situation 66:898 66:1008

Energiepreisentwicklung von 1973 bis 1984 66:560

Energiespeicherung 66:112

Entschwefelung mit Kalkstein, Mechanismus 66:802

Entwicklung der Technik fossilbeheizter Kraftwerke 66:303

Environmental Protection Agency (EPA) 66:477

Erdbeben, Komponentenverhalten bei vergleichbaren hohen dynamischen Beanspruchungen 66:672-682

Erosion 66:550

Erosionskorrosion
— Dampfturbinen 66:127
— empirisches Modell zur Berechnung von Materialabträgen 66:1171-1178
— Mechanismus, Einflußparameter, Abhilfemaßnahmen 66:762-767
— wasser-/dampfberührte Systeme von DWR-Anlagen der EdF 66:1072-1076

Ertüchtigung von Rohrleitungen im Zeitstandbereich 66:983-999

Feuerfeste Baustoffe, Zusammenhänge zwischen Kaltdruckfestigkeit und Heißabriebbeständigkeit 66:280-284

Feuerraumberechnungsmodell, angewendet am 700-MW-Block Mehrum 66:515-522

Feuerungsabgase, Säuretaupunkt 66:848-851

Feuerungsschema der von Braunkohle auf Steinkohle umgebauten Feuerungsanlage 66:464/465

Finite Elemente, Berechnung von Rohrbündelwärmetauschern 66:1084-1086

Flammenionisationsdetektoren zur kontinuierlichen Emissionsüberwachung in MVA 66:965

Flammenüberwachung in Kohlenstaubfeuerungen 66:626-630

Flugaschezement, Homogenisierung 66:1000-1003

Frankreich
— Elektrizitätsversorgung 66:1010
— zukünftiges Kraftwerksbauprogramm 66:204

Fremdgeräusch 66:610

Forschung 66:97 66:204 66:214 66:782 66:886

Gasfeuerung, Maßnahmen zur Minderung der NOx-Bildung 66:636

Gasturbinen
— Betriebserfahrungen 66:722
— Grundlasteinsatz 66:722
— historische Entwicklung 66:439
— Hochtemperaturkorrosion 66:940
— Planung, Bau und Inbetriebnahme 66:1041
— Sachversicherung 66:616
— Schadensstatistik 66:616
— Schäden an Schaufeln 66:616
— Schutzschichten für Schaufeln 66:940
— Typ V 94 66:722

Gasturbinenschaufeln, Reparaturmöglichkeiten 66:616

Gasvorwärmer 66:369
— Betriebserfahrungen 66:1123

GAVO 66:27 66:369 66:374 66:1123

Gebläse, naß 66:369

Gefügeänderungen durch Zeitstandbeanspruchung 66:71

Gefügeauflockerungen beim Induktivbiegen 66:59

Gemeinschaftsforschung 66:100

Gesamtkohlenstoffmessung im Rauchgas von MVA 66:965

Getriebe, Schallmessungen am 66:610

Gewebefilter bei MVA 66:646

Gips aus der Rauchgasentschwefelung 66:368 66:374 66:377

Gipswerke, Standorte 66:379

Glasmodell 66:527

Gradrohrdampferzeuger, Modell 86:527

Großkraftwerke der CEGB 66:200

Großprojekte im Kraftwerksbau 66:16

Gußwerkstoffe für Pumpen und Ventile in Rauchgasentschwefelungsanlagen 66: 834/835

Härtestabilisierung in Kühlsystemen 66:48-53

Haftneigung von Kohle 66:139

Heizkraftwerke
— Brennstoffausnutzung 66:921
— Betriebslastdiagramm 66:915-921
— Blockschema 66:915-921
— neue Konzepte 66:915-921
— Stromausfallkennziffer 66:915-921
— Wasser-Dampfkreislaufschema 66:915-921
— Zwischenkühlkreislauf 66:915-921

Heizwert 66:534

Hitzeeinwirkung in Kesselräumen 66:1142

Hitzeerträglichkeit, Einfluß von Übergewicht 66:1149

Hitzeexposition
— alternierend 66:1145
— Auswirkung auf den Menschen 66:1144

Hochschulinstitute, Kraftwerkstechnik 66:97 66:784

Hochtemperaturgasreinigung 66:212

Hochtemperaturreaktor, AVR Jülich, Radiolysevorgänge im Wasser-Dampfkreislauf 66:1167-1171

Hüllflächenverfahren 66:610

Hydraulische Aufweitanlage HYTEX 66:289

Inbetriebsetzung 66:427

Induktiv gebogene Rohre 66:58-62

Inertisierung der Mühlenluft zur NOx-Minderung 68:1051

INPO, Institute of Nuclear Power Operations 66:194

Integrierter Umweltschutz 66:477

Iod, Auswirkung chemischer Reaktionen auf das Verhalten des Spaltiods bei Störfällen 66:389-394

Ionenaustausch zur Feinreinigung von Wasser 66:159-170

Ionenschlupf in Kondensatreinigungsanlagen 66:274-279

Jalousieklappen für Rauchgase 66:1130

Kaliumhydroxid als Alkalisierungsmittel im Primärkreislauf von DWR 66:54-58

Kalkstein
- Gips REA 66:27
- zur Entschwefelung, Mechanismus 66:802
- zur Verbesserung des Schmelzflusses bei Schmelzfeuerung 66:838/839

Kationen-/Anionenaustauscherschaltung für die Kondensatreinigung 66:274-279

Kavitationsverschleiß an Speisepumpen 66:1119

Keramische Kühleinbauten in Kühltürmen 66:449/450

Keramische Werkstoffe für Armaturen 66:827-833

Kernenergieausbau in Frankreich 66:895 66:1010

Kernenergiedebatte 66:1007

Kernkraftwerk
- AVR Jülich, Radiolysevorgänge im Wasser-Dampfkreislauf 66:1167-1171
- Biblis, Primärkreischemie 66:257-268
- Biblis, Sekundärwasserchemie 66:1059-1071
- Leibstadt, Daten 66:427
  - Inbetriebsetzung 66:427
- Mülheim-Kärlich 66:527
- Gundremmingen, Untersuchungen zum Korrosionsprodukttransport 66:659-663

Kernkraftwerke
- Aktivitätsaufbau in SWR-Anlagen 66:268-273
- Ausbildung und Lizenzierung von Personal 66:194
- Beeinflussung der Wasserchemie in SWR durch H2-Dosierung 68:1162-1167
- Betriebserfahrungen 66:1108
- Betriebserfahrungen 1985 66:326-366
- Bewertung von Vorkommnissen 66:1116
- Brandschutz 66:949 66:604
- Dekontamination 66:579-588
- Einfluß chemischer Reaktionen auf Spaltiod bei Störfällen 66:389-394
- Ereignisanalyse 66:194
- Fernüberwachung 66:910
- Frankreich 66:1108
- Konvoi-Programm, bautechnische Verwirklichung von 1982 bis 1985 66:1089-1093
- Korrosionsverhalten von DE-Werkstoffen 66:977-982
- Notfallschutz 66:910
- Primärkühlmittelzusammensetzung 66:486-491
- Schwerpunkte der Chemie 66:46-48
- Sekundärwasserchemie in DWR-Anlagen 66: 1059-1071 66:1072-1076
- Sicherheitskonzepte 66:710
- Untersuchungen zur DWR-Sekundärwasserchemie 66:969-976

Kesselspeisewasser
- Aufbereitung durch Umkehrosmose und Vollentsalzung 66:569-573
- Aufbereitung mittels Membranverfahren 66:395-399

Kesseltrommeln aus Kupfer-Nickel-(Molybdän-)Stählen 66:588-598

Kesselwasser, pH-Wert-geregelte Feststoffalkalisierung 66:157-159

Klappen für Rauchgase 66:1130

Klimasummenmaß, WBGT 66:1144

Kobalt 60
- Beitrag zum Aktivitätsaufbau 66:288-273
- Beitrag zum Dosisleistungsaufbau 66:46-48

Körperschallüberwachung 86:523

Kohäsionsneigung von Kohle 66:139

Kohlefallschacht, Verstopfungen 66:466/467

Kohlefluß zur Mühle im Dampfkraftwerk Zeltweg 66:466/467

Kohlenbunker
- Abzugseinrichtungen 66:135-137
- Auslaufverhalten 66:133-140
- Kernfluß 66:134
- Massenfluß 66:133
- Zubehör 66:138

Kohlenstaubfeuerungen
- Bildung von Stickstoffoxiden 66:542-550
- Flammenüberwachung 66:626-630
- Maßnahmen zur Minderung der NOx-Bildung 66:632-635
- Primärmaßnahmen zur NOx-Minderung 66:843-848

Kohlereinigungstechnik 66:550

Kohlevergasung 66:550

Kohlevergasungsanlagen 66:208

Kohle-Wasser-Gemisch 86:550

Kombi-Prozesse, integrierte Vergasung 66:211

Komponenten, Neubewertung 66:529

Kondensat, Feinreinigung durch Ionenaustausch 66:159-170

Kondensatreinigung, Versuche an Anlagenkonzepten mit und ohne Mischbett 66:274-279

Konvertierung von Kohlenstickstoff zu NO 66:735

Korrosion
- Ammoniakschlupf hinter Anlagen zur NOx-Minderung 68:861-866
- Berechnung von Materialabträgen durch Erosionskorrosion 66:1171-1178
- DE-Rohre in Druckwasserreaktoren, Einfluß der Sekundärwasserchemie 66:969-976

– Einfluß der Sekundärwasserchemie auf DE-Rohre in DWR-Anlagen 66:977-982
– Einflußgrößen für Anfälligkeit gegen dehnungsinduzierte Rißkorrosion 66:481-485
– Stahl in Kühlsystemen, Filminhibierung 66:48-53

Korrosionsinhibierung in Kühlsystemen 66:48-53

Korrosionsprodukte
– Beitrag zum Dosisleistungsaufbau in SWR-Anlagen 66:659-663
– Transport im Primärkühlmittel von DWR-Anlagen 66:486-491

Korrosionsrißbildung 66:399-409 66:481-485

Korrosionsschutzschichten, Gasturbinenschaufeln 66:940

Kosten der Emissionsüberwachung in MVA 66:968

Kosten für den Umbau auf Kohlefeuerung im Heizkraftwerk Västeras 66:558

Kraft- und Wärmewirtschaft, Einflüsse auf die Entwicklung 66:87

Kraftwerk Aschaffenburg 66:743-749 66:835-843

Kraftwerk Bergkamen 66:846

Kraftwerk Cuno, NOx-Minderung 66:1157

Kraftwerk Elverlingsen, NOx-Minderung 66:1154/1155

Gemeinschaftskraftwerk West 66:847

Kraftwerk Hafen, Block 2 66:27

Kraftwerk Gustav Knepper 66:1046-1052

Kraftwerk Lausward 66:234-239 66:637-645 66:858-861

Kraftwerk Lippe-Werk der Vereinigten Aluminium-Werke AG, Lünen 66:804

Kraftwerk Maasvlakte, Umbau von Öl/Gas auf Kohle 66:529

Kraftwerk Niederaußem des RWE 66:559-563

Kraftwerk Schwandorf 66:650

Heizkraftwerk I der Stadtwerke Duisburg AG mit Zirkulierender Wirbelschichtfeuerung 66:804-807

Kraftwerk der Stadtwerke Flensburg 66:805

Kraftwerk Stigsnaes der Sydostjaellands Electricitets A/S (SEAS) 66:626-630

Kraftwerk Studstrup, Inbetriebsetzungserfahrungen 66:217

Heizkraftwerk Västeras der Västeras Stads Kraftvärmeverk AB 66:556-559

Kraftwerk Voerde 66:846

Kraftwerk Werne, Rauchgasentschwefelung und Abwasseraufbereitung 66:866-871

Kraftwerk Westerholt der VKR 66:1046-1052

Kraftwerk Westfalen der VEW, Block A, NOx-Minderung 66:1155/1156

Dampfkraftwerk Zeltweg der ÖDK 66:462-472

Kraftwerke
– Entwicklungsphasen ab 1950 in der Bundesrepublik Deutschland 66:305
– Strukturwandel 66:303
– Zirkulierende Wirbelschichtfeuerung 66:804-807

Kraftwerksausbau
– Prognosen Frankreich 66:204 66:1010
– Prognosen Schweiz 66:1104

Kraftwerksbauprogramm der EdF 66:204

Kraftwerkschemie
– Einsatz von Rechnern zur Erfassung und Auswertung von Analysendaten 66:153-157
– Entwicklung seit Gründung des VGB-Speisewasserausschusses 66:148-153
– Zusammenwirken von Wissenschaft und Praxis innerhalb der VGB 66:105-107

Kraftwerksforschung 66:97 66:204 66:782 66:886 66:1005 66:1096 66:1200

Kraftwerksnebenprodukte
– Aufbereitung 66:654
– Beeinflussung durch DENOX 66:654
– Deponierung 66:653
– Verwertung 66:650

KRAFTWERKSSCHULE E.V. 66:705

Kraftwerkstechnik, Tagesfragen 1986 66:1007

Kraftwerkswarten, Bildschirmanwendung 66:32

Kreuzkorrelationsprinzip bei der Flammenüberwachung 66:626-630

Kriechberechnung einer Rohr-Plattenverbindung 66:288-290

Kriechrißwachstum an warmfesten Stählen 66:875-881

Kriechschädigung an warmfesten Stählen 66:875-881

Kühltürme
– anlagentechnisches Konzept der Reingaseinleitung 66:922-928
– Ausbreitungsvorgänge bei der Reingaseinleitung 66:928-932
– Auslegungsdaten bei Keramikeinsatz 66:449/450
– Betriebsverhalten bei der Reingaseinleitung 66:928-932
– Drallerzeuger 66:239-242
– Einbauhöhe bei Keramikeinsatz 66:449/450
– Emissionen bei der Reingaseinleitung 66:928-932
– Keramikeigenschaften 66:449/450
– Keramikkühleinbauten 66:449/450
– Kunststoffrohre 66:922-928
– Meßkampagne MKV Völklingen 66:928-932
– Modelluntersuchungen 66:239-242
– Rauchgaskonzentrationsprofile 66:239-242
– Rauchgas-/Schwaden-Mischeinrichtung 66:239-242
– Reingaseinleitung 66:922-928
– Winterbetrieb
  – Betriebsdiagramm 66:130-132
  – Bypasseinsatz 66:130-132
  – Frostschutzleitung 66:130-132
  – Hauptkühlsystem 66:130-132
  – Kernabschaltung 66:130-132

Kühlwasserbehandlung 66:48-53

Kunststoffe, Anwendung und Verhalten in Rauchgas-entschwefelungsanlagen 66:767-771

Laständerungen, Kraftwerksblöcke 66:433

Lebensdauerüberwachung von Rohrleitungen im Zeitstand-bereich 66:983-999

Leichtwasserreaktoren
– Schwerpunkte der Chemie 66:46-48
– Verhalten von Spaltiod bei Störfällen 66:389-394

Leiningerwerk 66:373

Leistungserhöhung, Anlagenmodifikation 66:603

Leitstandanbindung der REA 66:249

Leittechnik
– Erfahrungen mit Teleperm M 66:814
– NOx-Minderungsmaßnahmen, Auswirkungen auf die 66:451
– Rauchgasentschwefelungsanlagen 66:242

Lenkhebelklappe für Rauchgase 66:1130

Ljungström-GAVO an REA 66:1123

Lochfraß in Gußwerkstoffen für Pumpen und Ventile 66:834

Luftstufung bei der Kohlenstaubfeuerung 66:546-548

Luftüberschuß 66:534

Luftverteilung bei der Rostfeuerung 66:730

Magnetit
– Löslichkeitsverhalten in Abhängigkeit von Temperatur und pH-Wert 66:762-767
– Modell zur Berechnung der Schichtbildung und Metall-auflösung 66:1077-1080

Mahl- und Feuerungsanlage, Schema für Zyklonfeuerung 66:235

Mannesmann-Verbinder Austenit-Ferrit 66:292-296

Mehrfachstufenmischbrenner 66:633/634

Membranverfahren
– Deionatgewinnung aus Kühlwasser 66:573-579
– Kesselspeisewasserbereitung 66:395-399
– Wasseraufbereitung, Umkehrelektrodialyse 66:655-659
– Wasseraufbereitung, Umkehrosmose 66:569-573

Meßpunktdichte 66:610

Meßwerterfassung, Auswertung und Darstellung mittels Rechnern 66:153-157

Metallographische Untersuchung von Austenit-Ferrit-Verbin-dern 68:292-296

Methoden der Energiespeicherung 66:109

Mikrofiltration bei der Wasseraufbereitung 66:395-399

Minderung der NOx-Bildung
– bei Rostfeuerungen 66:732
– bei Schmelzfeuerungen 66:744-749 66:835-843

Mischeinrichtung, Rauchgas-/Schwaden in Naturzug-Naß-kühltürmen 66:239-242

Momentanreserve für Wasserstoff/Sauerstoff 66:793

Müllverbrennung
– Abfallwirtschaftsfaktor 66:385
– Anwendung im internationalen Vergleich 66:565
– Emissionsfaktoren und Grenzwerte im Vergleich 66:566
– saure Wäsche 66:40
– Substitutionspotentiale 66:565

MVA München-Nord 66:251

Nachschaltkreisläufe zur Abwärmenutzung 66:419

Natronlauge zur Kesselwasseralkalisierung pH-Wert-geregelte Dosierung 66:157-159

Naturumlauf-Dampferzeuger, pH-Wert-geregelte Feststoff-alkalisierung 66:157-159

Naturzugkühltürme, bautechnische Umrüstung für REA 66:933-940

Niederflüchtige Kohle, Erprobung von Maßnahmen zur Ver-brennung 66:234-239

NOx-Bildung 66:550 66:642-644 66:733-738 66:1151
– Abhängigkeit von der Luftzahl, Einfluß der Kohleart, der Rauchgasrückführung und der Brennstoffstufung 66:643/644
– Beeinflussung durch Luftüberschuß, Luftstufung, Wand-temperatur, Kohleart und Brennstoffstufung 66:468-470 66:543-550 66:632/633
– Einfluß des Brennerdralls und der Oberluftmenge 66:839/840
– Einfluß der Kohleprovenienz und der Zahl der Betriebs-mühlen 66:745-747
– Einfluß des Staubeinblasesystems, der Brennerbauart, der Kohle, der flüchtigen Bestandteile und der Luftverhält-niszahl 66:736/737
– Erprobung von Maßnahmen zur Minderung 66:234-239
– in Kohlenstaubfeuerungen 66:541-550 66:631-637
– bei Schmelzfeuerungen 66:733-738 66:743-749 66:1046-1052

NOx-Emission bei Rostfeuerungen 66:731/732

NOx-Minderung 66:374 66:453 66:754-759 66:1123
– Änderung von Luftüberschuß, Rauchgasrezirkulation, Luftstufung und Brennstoffstufung 66:1150-1159
– Braunkohlenstaubfeuerungen 66:956-959
– in Kohlenstaubfeuerungen, betriebliche Konsequenzen 66:843-848
– Kombi-Block 86:858-861
– SCR-Anlage im Schwachlastbereich 66:630
– Steinkohleschmelzfeuerung 66:835-843 66:1150-1159
– Versuchs- und Großanlagen 66:777 66:1127

NOx-Minderungsmaßnahmen, Auswirkungen auf die Leit-technik 66:451

Oberluftzugabe zur NOx-Minderung bei Braunkohlenstaubfeuerung 66:957/958

Ölfeuerung, Maßnahmen zur Minderung der NOx-Bildung 66:635/636

Öl-/Gasbrenner, zweiflutig, für Kombi-Betrieb 66:860

Organic-Rankine-Kreislaufanlagen 66:419

Osmose, umgekehrte
– Deionatgewinnung aus Kühlwasser 66:573-579
– großtechnische Anwendung zur Wasserentsalzung 66:569-573
– Speisewasseraufbereitung 66:395-399

Otto-Hahn-Preis 1986 66:187

Oxidation von Stahl 66:762-767

Oxidschichten, Modell zur Berechnung der Schichtbildung und Metallauflösung 66:1077-1080

Ozonverfahren (O_3) 66:777

Planaufstellung vor dem Genehmigungsverfahren bei einer MVA 66:740

Planung, Bau und Betrieb von Kraftwerken in Entwicklungsländern 66:23

Planung und Bau eines Gasturbinenkraftwerkes 66:1041

Platzverhältnisse 66:27

Phasengleichgewicht Schwefelsäure/Wasser 66:849

Phosphatfahrweise, Korrosionsverhalten von DE-Rohren 66:977-982

Phosphono-butan-tricarbonsäure zur Filminhibierung der Stahlkorrosion in Kühlsystemen 66:48-53

Preisentwicklung der Brennstoffe 66:88

Primärenergieträger 66:102

Primärenergieverbrauch in Frankreich 66:1011

Primärkühlmittelchemie
– DWR-Anlage Biblis 66:257-268
– DWR-Anlagen, Alkalisierung mit KOH 66:54-58
– kombinierte Li/B-Fahrweise 66:486-491

Primärmaßnahmen zur Minderung der NOx-Bildung 66:631-637

Primärmaßnahmen zur NOx-Minderung
– Braunkohlenstaubfeuerungen 66:956-959
– Kohlenstaubfeuerungen, betriebliche Konsequenzen 66:843-848
– Steinkohleschmelzfeuerungen 66:743-749 66:835-843 66:1046-1052
– Zyklonfeuerungen 66:237/238

Prozeßführung für REA 66:248

Pyrolyse 66:472
– Analysen der Schadstoffströme 66:475

Radioaktive Abgaben der Kernkraftwerke 1985 66:328

Radiolyse im Wasser-Dampfkreislauf des AVR-Reaktors Jülich 66:1167-1171

Rahmenbedingungen zur Müllverbrennung 66:387

Rauchgasentschwefelung 66:1123 66:1160
– Alternative zur 66:550
– RWE-Braunkohlekraftwerke, chemische Überwachung 66:759-762
– Verfahrensübersicht 66:754-759
– Wilhelmshaven 66:367
– Zolling 66:373
– Zusammensetzung und Aufbereitung des Abwassers 66:866-871

Rauchgasentschwefelungsanlagen
– Abwasser 66:866-871
– Anwendung und Verhalten von Kunststoffen 66:767-771
– Armaturen 66:823-835
– Leittechnik 66:242
– Leittechnik, Anlagenkosten 66:250
– Leittechnikkonzept 66:245
– Wärmetauscher aus Graphit 66:945-949

Rauchgasklappen, Weiterentwicklungen und Betriebserfahrungen 66:1130

Rauchgasmenge
– Berechnung 66:534
– Netzmessung 66:534
– Punktmessung 66:534

Rauchgasmessungen bei MVA 66:40 66:254 66:645

Rauchgasreinigung
– chemische Probleme 66:754-759
– chemische Überwachung 66:759-762
– Naßverfahren für MVA 66:40
– Quasi-Trockensorption 66:251 66:645
– Trockensorption 66:645

Rauchgasreinigungsanlage 66:27

Rauchgasrückführung bei Zyklonfeuerung 66:639

RBMK-1000, Reaktorunfall 66:902

REA siehe Rauchgasentschwefelung

Reaktorunfall Tschernobyl, Übertragbarkeit 66:902

Rechnereinsatz zur Meßwerterfassung und -verarbeitung im chemischen Kraftwerkslabor 66:153-157

Reduzierung von NO 66:542-544

Regenerativwärmetauscher in der Umwelttechnik 66:1123

Rehabilitation von Kraftwerken in Entwicklungsländern 66:26

Reingaseinleitung in Naturzug-Naßkühltürme 66:922-928

Rekontamination nach Dekontamination von Anlagenteilen in Kernkraftwerken 66:579-588

Restduktilität 66:171

Risiken und Vorsorge in der Kraftwerkstechnik 66:10

Rißkorrosion, dehnungsinduzierte; Begriffsbestimmung, Einflußgrößen, Beispiele 66:481-485

Rohrböden, Berechnung 66:1190-1194

Rohrbündelwärmetauscher; rechnergestützte Dimensionierung 66:1080-1088

Rohrleitungen, Korrosionsschäden 66:481-485

Rohrleitungen im Zeitstandbereich, Lebensdauerüberwachung 66:983-999

Rostfeuerungen, Entwicklungen 66:728-732

Säuretaupunkt in Feuerungsabgasen 66:848-851

Sattdampfturbinen, Erosionskorrosion 66:127

Sauerstoff, Einfluß auf dehnungsinduzierte Rißkorrosion in Hochtemperaturwasser 66:481-485

SCR-Plattenkatalysator 66:852

SCR-Verfahren 66:777 66:861
– hinter REA bei Trockenfeuerung 66:27
– hinter Schmelzfeuerung 66:852
– hinter Trockenfeuerung 66:852

SCR-Wabenkatalysator 66:852

Sekundärwasserchemie, Einfluß auf das Korrosionsverhalten von DE-Rohren 66:977-982

Sekundärwasserchemie in DWR
– Entwicklungsstufen 66:1059-1071
– Erfahrungen der EdF 66:1072-1076
– Untersuchungen 66:969-976

Sicherheitskonzepte von Kernkraftwerken 66:710

Sicherheitskriterien für Kernkraftwerke 66:710

Siedewasserreaktor
– Aktivitätsaufbau durch Co-60 66:268-273
– Beeinflussung der Wasserchemie durch H2-Dosierung 66:1162-1167
– Korrosionsprodukttransport 66:659-663
– Leistungserhöhung 66:603

Siliciumcarbid (EKasic), Werkstoff für Armaturen 66:831

Siliciumnitrid (EKasin), Werkstoff für Armaturen 66:827-833

SNCR-Verfahren 66:777 66:861

SNR 2 66:716

Sondermüllverbrennung, Rauchgasreinigung 66:40

SO2-Emission bei Rostfeuerungen 66:731

SO2-SO3-Konversion 66:852

Spaltiod, Einfluß chemischer Reaktionen bei Störfällen in Leichtwasserreaktoren 66:389-394

Spannungsrißkorrosion 66:399-409

Speisepumpen
– Erfahrungen mit Pumpen großer Leistung 66:1119
– Schallmessungen 66:610

Speisewasser, Korrosionsprodukttransport in der 2 X 1300-MW-SWR-Anlage Gundremmingen 66:659-663

Sprühsorption zur Rauchgasreinigung bei MVA 66:251 66:645

Spurenstoffe bei der Verbrennung von Kohle 66:750-753

Schadgaskomponenten, kontinuierliche Emissionsüberwachung in MVA 66:960

Schäden an Gasturbinen 66:616

Schalldruckmessung 66:610

Schalleistungsermittlung 66:610

Schallintensitätsmessung 66:610

Schieber zur Absperrung von Rauchgasen 66:1130

Schmelzfeuerung, NOx-Bildung 66:733-738

Schmelzfeuerungen, Minderung der NOx-Bildung 66:743-749 66:835-843 66:845-847

Schnelle Brüter 66:716

Schwefeleinbindung 66:550

Schwefelsäurekonzentration, Messung in Feuerungsabgasen 66:850

Schwefelsäure/Wasser, Phasengleichgewicht 66:849

Schwenkflügelklappen für Rauchgase 66:1130

Schwermetallabscheidung 66:40 66:255 66:645

Schwingungsrißkorrosion 66:399-409

Schutzschichten
– Gasturbinenschaufeln 66:940
– Modell zur Berechnung 66:1077-1080

Stahlbeton, Temperaturzwängungen in kerntechnischen Anlagen 66:492-497

Staubmessung, kontinuierliche, in MVA 66:962

Steinkohleflugasche
– mineralogische und technologische Eigenschaften 66:1194-1199
– Untersuchungen zur Reaktivität im Zementmörtel 66:772-776

Stickoxide, Verfahren zur Ausscheidung 66:4

Stickoxidminderung siehe NOx-Minderung

Stickoxidreduktion, verschiedene Verfahren 66:1123

Stickstoffanteil der Kohle, Einfluß auf NOx-Bildung 66:541-546

Störfallsimulation an einem Naturumlaufkessel 66:113

Stolze, Gasturbinen 66:440

Strömungsvorgänge in Feuerräumen 66:224

Stromerzeugung aus Wasserstoff 66:793-801

Stromerzeugungskosten 66:90

Stromversorgung in der Schweiz 66:1104

Stufenmischbrenner 66:632

Stufenverbrennung 66:631-637

Stufenverbrennung von Kohlenstaub 66:546-548 66:735

Stufenverbrennung zur NOx-Minderung 66:1049-1051

Taupunkt in Feuerungsabgasen 66:848-851

TAV-Flugasche 66:650

Technik, zukünftige, im Kraftwerksbau 66:1

Teleperm-M-Leittechnik, Erfahrungen 66:814

Thermohydraulische Berechnung, Wärmetauscher 66:285-291

Toleranzzeiten bei hoher Hitzebelastung 66:1144

Topfgehäusepumpen, Erfahrungen mit Pumpen großer Leistung 66:1119

Transmembrandestillation, Anwendung zur Wasserentsalzung 66:395-399

TRD, Änderungen und Ergänzungen 66:498-501

TRD 301 Anlage 1, Auslegung von Dampferzeugern 66:1178-1190

Trocken-Additiv-Entschwefelung bei Rostfeuerungen 66:731

Trockenfeuerung, NOx-Minderung 66:845-847

Trockensorption zur Rauchgasreinigung bei MVA 66:645

Tröpfchenmessung 66:1161

Tropfenabscheider 66:1160

Tschernobyl, Reaktorunfall 66:902

TVO, Teollisuuden Voima Oy 66:603

Ultrafiltration bei der Wasseraufbereitung 66:395-399 66:573-579

Umbau der Kesselfeuerung von Braunkohle auf Steinkohle 66:462-472

Umbau des Heizkraftwerkes Västeras von Öl- auf Kohlefeuerung 66:556-559

Umbau von zwei 540-MW-Einheiten im Kraftwerk Maasvlakte von Öl/Gas auf Kohle 66:529

Umkehrelektrodialyse, Anwendung zur Wasserentsalzung 66:573-579 66:655-659

Umkehrosmose
- Deionatgewinnung aus Kühlwasser 66:573-579
- großtechnische Anwendung zur Wasserentsalzung in der DDR 66:569-573
- Speisewasseraufbereitung 66:395-399

Umlaufkühlung, Korrosionsinhibierung und Härtestabilisierung 66:48-53

Umrüstungsmöglichkeiten auf Kohlebrennstoff 66:620

Umweltschutz, Abwasserreinigung bei Kraftwerken 66:1052

Umweltschutzgesetzgebung der USA 66:477

Umweltschutzmaßnahmen, kohlebefeuerte Kraftwerke 66:305

Umweltschutzsituation 66: 1009

Unverbranntes in der Flugasche, Zusammenhang mit NOx-Bildung 66:469

U-Rohr-Kompaktwärmetauscher, Berechnung 66:285-291

US-Verbinder Austenit-Ferrit 66:292-296

Verbrennung von Kohle auf dem Rost 66:728-732

Verbrennung von Kohle, Emission von Spurenstoffen 66:750-753

Verbrennung von Kohle auf dem Rost 66:728-732

Verbrennungsablauf und Rauchgasatmosphäre einer Zyklonfeuerung bei NOx-Minderungsmaßnahmen 66:637-645

Verbrennungsrechnung für MVA 66:809

Verfügbarkeit, Zeit- und Arbeitsverfügbarkeit von Kernkraftwerken 1985 66:327

Vergasungsgase 66:210

Vermeidung von Ammonsalzbildung 66:630

Vermessungsaufgaben, EDV-Einsatz 66:882-885

Verschmutzung in konvektiven Kesselrohrbündeln 66:120

Verteilungsgleichgewicht von suspendierten Metalloxiden im Wasser-Dampfkreislauf 66:268-273

Verwertung von Kraftwerksnebenprodukten 66:650

Verwertungskonzept für REA-Gips 66:377

VGB-Auszeichnungen 66:896

VGB-Forschungsprogramm 66:32 66:97 66:523 66:610 66:704 66:772 66:940 66:969 66:1077 66:1194

VGB-FORSCHUNGSSTIFTUNG 66:97 66:703 66:897

VGB-Kongreß „Kraftwerke 1986“ 66: 893

VGB-Speisewasserausschuß, Gründung vor 60 Jahren 66:148-153

VGB-Tätigkeitsbericht, Ausblick 66:690

Wärmebehandlung; Einfluß auf Zeitstandfestigkeit 66:65-72

Wärmebehandlung induktiv gebogener Rohre 66:59

Wärmebilanz des menschlichen Körpers 66:1143

Wärmespannungen in Rohrböden, Berechnung 66:1190-1194

Wärmetauscher aus Graphit 66:945-949

Wärmetauscher, Berechnung 66:285-291

Wärmetauscher für Rauchgase 66:1123

Wärmeverbrauch
- Abhängigkeit von der Frischdampfmenge 66:534
- Abhängigkeit von der Generatorleistung 66:534
- Abhängigkeit von der Nettoleistung 66:534

Warmfeste Kupfer-Nickel-(Molydbän-)Stähle 66:588-598

Warmfeste Stähle, Kriechschädigung 66:875-881

Wartentechnik für REA 66:249

Wasseraufbereitung
- Deionatgewinnung aus Kühlwasser 66:573-579
- Feinreinigung von Wasser durch Ionenaustausch 66:159-170
- Membranverfahren 66:395-399
- umgekehrte Osmose 66:569-573
- Umkehrelektrodialyse und Ionenaustausch 66:655-659

Wasserchemie
– Einfluß auf die Erosionskorrosion 66:762-767
– schwedische SWR-Anlagen 66:1162-1167
– Zusammenwirken von Forschung und Betrieb in der VGB 66:105-107

Wasser-Dampfkreislauf
– AVR-Reaktor Jülich, Radiolysevorgänge 66:1167-1171
– Berechnung von Materialabträgen durch Erosionskorrosion 66:1171-1178
– Modell zur Berechnung von Schutzschichtbildung und Metallauflösung 66:1077-1080
– Ursachen der Erosionskorrosion 66:762-767
– Verteilung von suspendierten Metalloxiden 66:268-273

Wasserstoff, Dosierung in schwedischen SWR-Anlagen 66:1162-1167

Wellendichtungen großer Speisepumpen 66:1119

Wellmann-Lord-Verfahren 66:1126

Werkstoffe
– Armaturen in Rauchgasentschwefelungsanlagen 66:823-835
– Rohrleitungen im Zeitstandbereich 66:983-999
– warmfeste Kupfer-Nickel-(Molybdän-)Stähle 66:588-598
– 10 CrMo 9 10, Zeitstandbeanspruchung 66:63-72
– 13 CrMo 4 4, Zeitstandbeanspruchung 66:63-72 66:170-177
– 15 NiCuMoNb 5, Warmfestigkeitseigenschaften von induktiv gebogenen Rohren 66:60
  – fünf Jahrzehnte Entwicklung 66:588-598
– X 20 CrMoV 12 1, Zeitstandbeanspruchung 66:170-177

Werkstoffe im Kraftwerksbau, Entwicklung 66:663-672

Werkstoffeigenschaften nach Betriebsbeanspruchung 66:63-72 66:170-177

Winkelfehler 66:610

Winterbetrieb von Naturzug-Naßkühltürmen 66:130-132

Wirbelschichtfeuerung 66:550
– zirkulierende 66:801-807

Wirbelschichtfeuerung (stationär)
– Aufbau und Auslegung 66:458-462
– Betriebserfahrungen 66:458-462
– Betriebsweise 66:458-462
– für Industriekraftwerke 66:458-462
– Regelverhalten 66:458-462
– Verfügbarkeit 66:458-462

Wirtschaftliche Auslegung von Kreisprozessen 66:1

Wirtschaftlichkeit von Investitionen zur Verbesserung des Wärmeverbrauchs 66:306

Wirtschaftlichkeitsbetrachtung für Zündfeuerung 66:562

Zähigkeitseigenschaften von induktiv gebogenen Rohren 66:60

Zementwerke, Standorte 66:380

Zeitstandbeanspruchung 66:63-72 66:170-177

Zeitstandfestigkeit nach Betriebsbeanspruchung 66:63-72 66:170-177

Zirkulierende Wirbelschichtfeuerung (ZWS) 66:801-807

Zündbrenner für Braunkohlenstaub 66:562

Zündfeuerung für Braunkohlenstaub 66:559-563

Zusammenarbeit, internationale 66:214 66:895 66:898

Zuschüsse zum Bau eines Müllheizkraftwerkes 66:738

Zyklonabscheider für Dampferzeuger 66:1036-1041

Zyklonfeuerung, Verbrennung niederflüchtiger Kohle und Maßnahmen zur Minderung der NOx-Bildung 66:234-239

Zyklonfeuerung, Verbrennungsablauf und Rauchgasatmosphäre bei NOx-Minderungsmaßnahmen 66:637-645

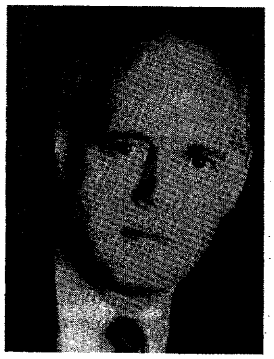

H. Wolf, Düsseldorf

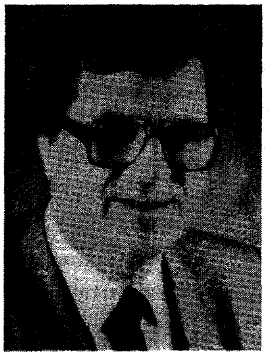

U. Wolff, Essen

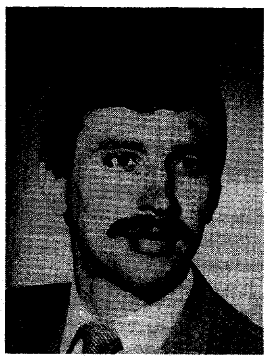

Kh. Wolfmüller
Lampoldshausen

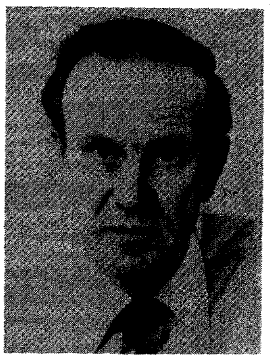

J.I. Wooley,
London/Großbritannien

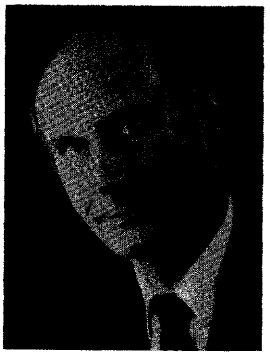

J. Zelkowski, Essen

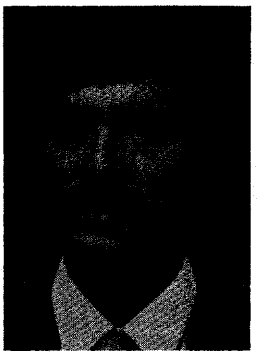

W. Zobel, Essen

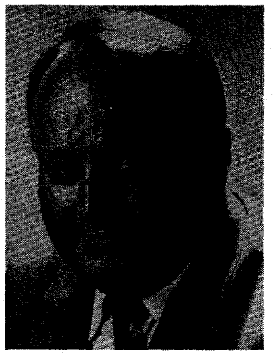

H.E.D. Zürn, Mannheim

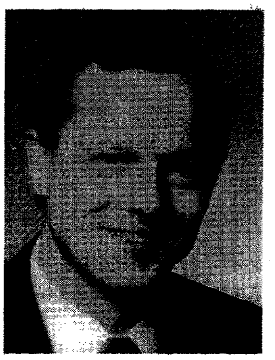

H. Zwahr, Hamburg

In den zwölf Heften des Jahrganges 66 sind enthalten:

1	2	3	4	5	6
1-86	87-186	187-302	303-418	479-514	515-602
7	8	9	10	11	12
603 — 688	689 — 792	793 — 892	893 — 1006	1007-1102	1103-1210